

К-758

11/1-71

СООБЩЕНИЯ
ОБЪЕДИНЕННОГО
ИНСТИТУТА
ЯДЕРНЫХ
ИССЛЕДОВАНИЙ

Дубна



11-5407

ЛАБОРАТОРИЯ ВЫЧИСЛИТЕЛЬНОЙ ТЕХНИКИ
И АВТОМАТИЗАЦИИ

ЛАБОРАТОРИЯ НЕЙТРОННОЙ ФИЗИКИ

В.И. Кочкин, Е.П. Шабалин

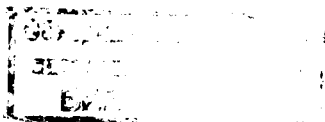
ЭФФЕКТИВНАЯ ОДНОТОЧЕЧНАЯ МОДЕЛЬ
КИНЕТИКИ РАЗМНОЖАЮЩЕЙ СРЕДЫ
С РЕАЛЬНЫМИ ГЕОМЕТРИЧЕСКИМИ
И ФИЗИЧЕСКИМИ СВОЙСТВАМИ

1970

11-5407

В.И. Кочкин, Е.П. Шабалин

**ЭФФЕКТИВНАЯ ОДНОТОЧЕЧНАЯ МОДЕЛЬ
КИНЕТИКИ РАЗМНОЖАЮЩЕЙ СРЕДЫ
С РЕАЛЬНЫМИ ГЕОМЕТРИЧЕСКИМИ
И ФИЗИЧЕСКИМИ СВОЙСТВАМИ**



Плотность делений в реакторе подчиняется следующему интегральному уравнению:

$$N^*(x, t) = \iint N^*(x', t') p(x', x, t', t) dt' dx' + \iint \frac{s(x', t')}{\nu(x, t)} p_s(x', x, t', t) dt' dx', \quad (1)$$

где $N^*(x, t)$ - скорость делений в момент t в единице объема в точке x ("плотность делений"); $p(x', x, t', t)$ - плотность делений в момент t в точке x , вызванных нейтронами одного деления в точке x' в момент t' ; $\nu(x, t)$ - число вторичных нейтронов на акт деления в точке x в момент t ; $s(x', t')$ - плотность источников нейтронов; $p_s(x', x, t', t)$ - плотность генерации вторичных нейтронов делений, вызванных нейтроном источника в точке (x', t') ; интегрирование по x' производится по всему пространству, по t' - от $-\infty$ до t .

Введем обозначения: $N(t') = \int N^*(x', t') dx'$ - скорость делений во всем реакторе в момент t' ("мощность реактора");

$$K(t') = \frac{\int N^*(x', t') dx' \iint p(x', x, t', t) dx dt}{N(t')} \quad (3)$$

- динамический коэффициент размножения в момент t' ;

$$P(t', t-t') = \frac{\int N^*(x', t') \int p(x', x, t', t) dx dx'}{k(t') N(t')} \quad (4)$$

- динамическая плотность распределения вероятности вторичного деления по времени, если первичное деление имело место в момент t' ; очевидно,

$$\int P(t', t-t') d(t-t') = 1; \quad (5)$$

аналогичные обозначения вводятся для источника.

Интегрируя (1) по x и, производя замену переменных $r = t - t'$, получим:

$$N(t) = \int_0^\infty [N(t-r) k(t-r) P(t-r, r) + S(t-r) \frac{k_s(t-r)}{\nu} P_s(t-r, r)] dr \quad (6)$$

Уравнение (6), строго говоря, не применимо для нахождения $N(t)$, так как расчёт $P(t', r)$ и $k(t')$ уже предполагает знание функции $N'(x, t)$.

Однако возможны такие процессы, когда $k(t')$ и $P(t', r)$ или весьма слабо зависят от распределения $N^*(x, t)$, или распределение плотности делений $N^*(x, t)$ по пространству мало меняется со временем. Примером данных ситуаций может служить система слабосвязанных реакторов (или многозонного реактора) с мало изменяющимися во времени геометрическими и физическими свойствами.

Тогда $k(t')$ и $P(t', r)$ могут быть рассчитаны для равновесного распределения $N^*(x)$ в реальной геометрии системы (например, методом статистического моделирования) и использованы при решении (6).

^{x/} Подобная запись уравнения кинетики использовалась в /1,2/.

Практически интересные результаты можно получить, предполагая, что $P(t', r)$ зависит только от r .

$$1) P(t', r) = P_s(t', r) = P(r) = a e^{-ar}.$$

Уравнение (6) дифференцированием по t сводится к односточечному уравнению кинетики:

$$N' = a(k-1)N + a \frac{k_s S}{\nu}. \quad (7)$$

Очевидно, что

$$\int_0^\infty r P(r) dr = \frac{1}{a} = T$$

- среднее время жизни поколения нейтронов.

$$2) P(r) = P_s(r) = \sum_{i=1}^M \alpha_i \gamma_i e^{-\alpha_i r}.$$

Замена

$$n_i = \int_{-\infty}^t [k(t') N(t') + \frac{k_s S(t')}{\nu}] \alpha_i \gamma_i e^{-\alpha_i (t-t')} dt'$$

сводит (6) к системе дифференциальных уравнений 1-го порядка:

$$n_i' = -\alpha_i n_i + \alpha_i \gamma_i k \sum_{j=1}^M n_j + \alpha_i \gamma_i \frac{k_s S}{\nu} \quad (8)$$

$$i = 1, 2, \dots, M.$$

По определению $\eta(t)$

$$N(t) = \sum_{i=1}^M n_i(t).$$

Если $a_1 \gg a_i$ и $\sum_{i=2}^M a_i \gamma_i \ll a_1 \gamma_1$, то система (8) может быть записана в виде, аналогичном одноточечному уравнению кинетики с запаздывающими нейтронами:

$$N' = a_1 N (k\gamma_1 - 1) + a_1 \gamma_1 k_s \frac{S}{\nu} + a_1 \sum_{j=2}^M a_j C_j$$

$$C_1' = -a_1 C_1 + k \gamma_1 N$$

$$C_i = p_i / a_i, \quad i = 2, 3 \dots M.$$

Уравнения (8) отличаются от приближенных уравнений кинетики связанных реакторов (см., например, ^{13/}); искомые функции $p_i(t)$ в настоящей работе есть плотности делений в реакторе нейтронами со временем жизни $1/a_i$, а уравнения кинетики связанных реакторов записываются для плотности делений в определенной пространственной зоне (или определенном реакторе).

3) $P(r)$ - произвольная функция, обладающая свойствами плотности распределения вероятности. Пусть в окрестности t_0 около точки t $N(t)$ можно представить в виде двух членов ряда Тэйлора:

$$N(t') \approx N(t) - N'(t) \tau \quad (\tau = t - t'). \quad (9)$$

Предполагая еще, что $k(t)$, $k_s(t)$ и $S(t)$ слабо меняются в этом интервале (их логарифмические производные много меньше $1/t_0$), вместо (6) получим:

$$N(t) = k(t) N(t) \gamma_p - k(t) N'(t) T_p \gamma_p + \quad (10)$$

$$+ k_s(t) \frac{S(t)}{\nu} \gamma_p + \int_0^\infty k(t-r) N(t-r) P(r) dr,$$

где

$$\gamma_p = \int_0^t P(r) dr, \quad \gamma_p T_p = \int_0^{t_0} r P(r) dr.$$

Интеграл в правой части (10) есть доля мощности реактора в момент t , определяемая нейтронами, которые появились не ранее, чем за t_0 до момента t . Грубо говоря, за эту часть мощности ответственны "ленивые" нейтроны; в качестве таковых в реакторе могут быть замедляющиеся и тепловые нейтроны, нейтроны из "далеких" пространственных зон, запаздывающие нейтроны с коротким периодом, нейтроны спонтанно делящихся изомеров с малым временем жизни. Очевидно, что

$$N_{\text{зап.}} = \int_0^\infty k N P dr < \text{Max} \{ k N \} \times \int_0^\infty P dr = \\ = (1 - \gamma_p) \text{Max} \{ k N \}.$$

Если t_0 таково, что $1 - \gamma_p = \int_0^\infty P dr \ll 1$ то, отбрасывая в (10)

$N_{\text{зап.}}$ получим дифференциальное уравнение, которое с абсолютной погрешностью не более $(1 - \gamma_p) \text{Max} \{ k N \}$ определяет мощность:

$$N'(t) = \frac{k(t)\gamma_p - 1}{k(t)\gamma_p T_p} N(t) + \frac{k_s}{k} \frac{S(t)}{\nu T_p}. \quad (11)$$

Уравнение совпадает по виду с одноточечным уравнением кинетики; однако, среднее время жизни поколения T_p здесь определено без учета нейтронов, которые "живут" очень долго.

Величина $\frac{k_s(t)}{k(t)} S(t) = S^*$ суть эффективный источник нейтронов.

Можно показать, что в отсутствие источника разложение (9) оказывается справедливым при условии

$$k - 1 \ll \frac{T_p}{t_0}.$$

4) Пусть $P(\tau)$ есть линейная комбинация произвольной функции, подчиняющейся условиям п. 3 и M экспонент $\alpha_i \gamma_i e^{-\alpha_i \tau}$ ($\alpha_i > 0$). В этом случае (6) сводится к системе уравнений:

$$N' = \frac{k \gamma_p - 1}{k \gamma_p T_p} N + \frac{S}{\nu T_p} + \frac{1}{k \gamma_p T_p} \sum_{j=1}^M n_j \quad (12)$$

$$n_i' = -\alpha_i n_i + k \alpha_i \gamma_i (N + S^*/\nu).$$

5) Разлагая $N(t')$ в ряд Тейлора в точке t и ограничиваясь n -ым членом, получим вместо (6):

$$N' = N \frac{k \gamma_p - 1}{k \gamma_p T_p} + N'' \frac{r^2}{2 T_p} + \dots + \quad (13)$$

$$+ N^{(n)} \frac{r^n}{n! T_p} + \frac{k S}{k \nu T_p},$$

где $\frac{r^n}{n!}$ — n -ый момент функции $P(\tau)$.

Из вышеизложенного следует, что применимость одноточечного уравнения кинетики определяется видом функции распределения цепочек деления по времени $P(\tau)$. Если в реакторе присутствуют нейтроны с временем жизни, сравнимым с продолжительностью рассматриваемого нестационарного процесса, то одноточечная модель может быть использована в ограниченном интервале времени с определенной погрешностью (см. п. 3). Например, при затухании нейтронного импульса в импульсном реакторе

или бустере долгоживущие нейтроны значительно увеличивают "хвост" импульса; если распределение таких нейтронов описывается экспонентой, то мощность реактора можно определить, решая систему (12) (п. 4).

Как показано в [4], одноточечное уравнение кинетики соответствует случаю однозонного односкоростного реактора. Поэтому введением в уравнение (6) $P(\tau)$ для более реальной модели реактора можно надеяться получить следующее приближение к нестационарному поведению мощности реактора. Уравнения (8), (11) и (12), основанные на определенном виде функции распределения, можно назвать "уравнениями одноточечной модели кинетики реактора".

Данный подход позволяет, по-видимому, получить поведение мощности реактора в таком же приближении, что и многоточечные многогрупповые уравнения кинетики [5, 8]. Преимущество эффективной одноточечной модели по сравнению с последними заключается в отсутствии альтернатив выбора числа зон и групп; число временных групп нейтронов диктует вид функции $P(\tau)$.

Распределение нейтронов по времени между делениями $P(\tau)$ с достаточной точностью можно вычислить моделированием стохастического процесса стационарного переноса нейтронов методом Монте-Карло по поколениям. Авторы ввели алгоритм оценки величин $\int_{t_i}^{t_i+1} P(\tau) d\tau$, τ и τ^2 в программу Монте-Карло для трехмерного многозонного реактора [6]. Были рассчитаны кинетические характеристики трех вариантов реакторов на быстрых нейтронах сложной геометрии и состава: 1 — проектный вариант импульсного исследовательского реактора ИБР-2 [7], 2 — расчетный вариант ИБР-2 с зоной из U-235 и отражателем из U-238, 3 — вариант гипотетического двухзонного реактора (без водяного замедлителя) — Pu в зоне и W в отражателе.

Функция $P(\tau)$ для всех обчисленных реакторов монотонно убывает с ростом τ (рис. 1) и хорошо аппроксимируется в интервале $0 < \tau < 10$ мксек суммой нескольких экспонент (табл. 1). Для варианта 1 вклад нейтронов с временем жизни $\tau > 10$ мксек в плотность делений составил $2 \cdot 10^{-4}$, в среднее время жизни — 10%.

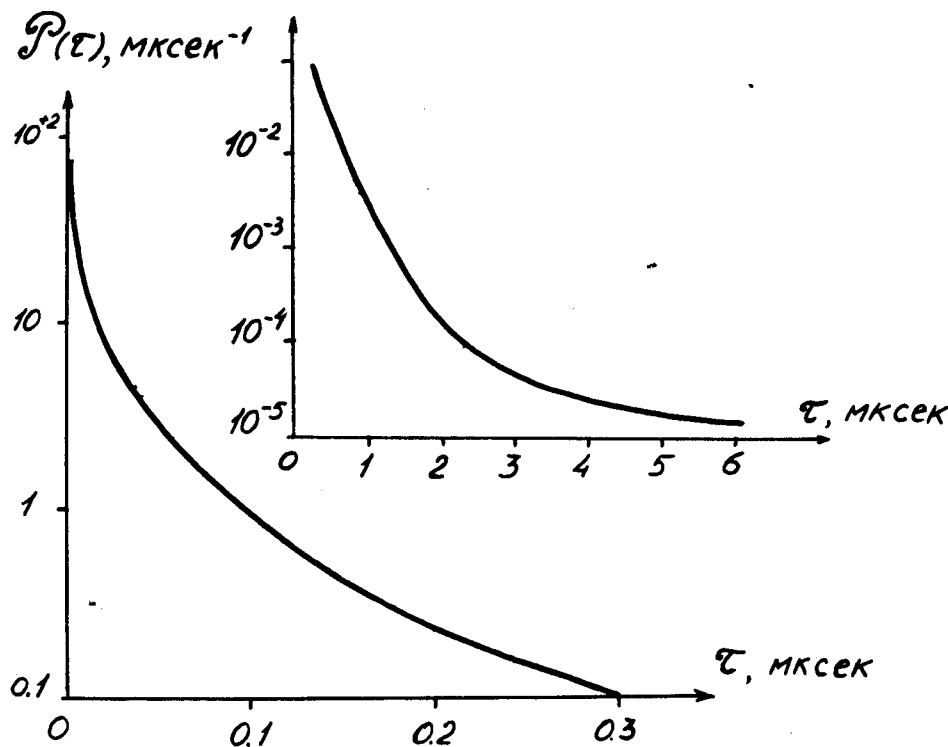


Рис. 1. Плотность распределения нейтронов по времени между делениями $P(t)$ для быстрого реактора с тонким отражателем и водяным замедлителем (вариант 1); вверху справа - продолжение $P(t)$ в область $0,3 \text{ мксек} < t < 6 \text{ мксек}$.

Таблица 1

Аппроксимация плотности распределения вероятности вторичного деления по времени экспоненциальным рядом $P(t) = \sum_1 a_i \gamma_i e^{-a_i t}$ для трех вариантов реакторов

	(1) $\bar{t} = 4,10 \cdot 10^{-8} \text{ сек}$		(2) $\bar{t} = 2,7 \cdot 10^{-8} \text{ сек}$		(3) $\bar{t} = 4,4 \cdot 10^{-8} \text{ сек}$	
i	γ_i	a_i	γ_i	a_i	γ_i	a_i
1	0,347	245	0,408	208	0,43	170
2	0,480	44	0,415	39	0,29	50
3	0,205	14	0,176	14,2	0,28	11,5
4	0,017	4,3	0,001	1,0	-	-
5	0,0008	0,6	-	-	-	-
6	0,0002	-	-	-	-	-

Влияние формы $P(t)$ на развитие мощности во времени иллюстрируется рис. 2. Здесь приведены импульсы мощности бустера при размножении ≈ 20 (без учёта запаздывающих нейтронов), подсчитанные для варианта 2 как по обычной одноточечной модели с $T = 2,7 \cdot 10^{-8} \text{ сек}$, так и по уравнениям (8) с 4 экспонентами. Различие в величине мгновенной мощности на спаде импульса превышает 20%; энергия за время от 0 до 5 мксек, подсчитанная по эффективной модели, на 7% меньше.

Л и т е р а т у р а

1. Т.А. Уэлтон. Материалы Международной конференции по мирному использованию атомной энергии в Женеве, т. 5, 1955 г. М., Издательство АН СССР, 1958.

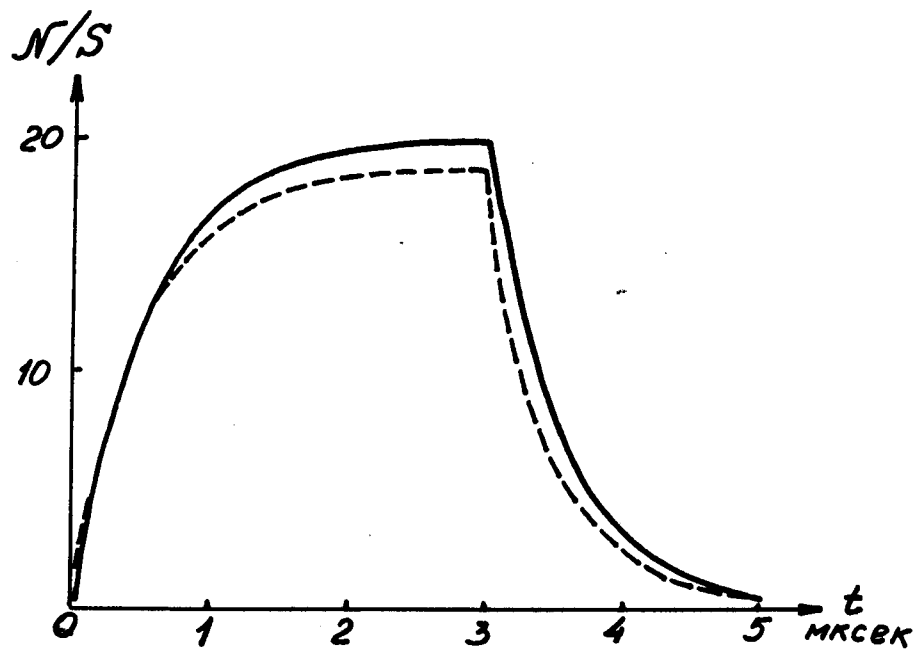


Рис. 2. Форма импульса мощности бустера; в интервале времени $0 < t < 3$ мксек действует постоянный источник нейтронов; $K = 0,95$; $T = 2,7 \cdot 10^{-8}$ сек; сплошная кривая - расчёт по одноточечной модели; пунктирная кривая - расчёт по эффективной одноточечной модели (уравнения (8) настоящей работы).

2. Т.А. Уэлтон. "Кинетика реакторных систем" в сборнике "Теория ядерных реакторов". Госатомиздат 1963.
3. G.E. Hansen and H.A. Sandmeier. Nucl.Sci. and Eng., 22, 315-320 (1965).
4. D. Baroncinic and F.T. Adler. Transactions ANS, v. 4, No 2, Nov., 1961, 257.
5. T. Asaoka and R. Misenta. EURATOM Report EUR-2273, 1965.
6. В.И. Кочкин, Е.П. Шабалин. Препринт ОИЯИ, 11-4098, Дубна, 1968.
7. В.Д. Ананьев и др. Препринт ОИЯИ 13-4392, Дубна, 1969.
8. R.L. Coats and R.L. Long. "Fast Burst Reactors" Proceedings of the National Topical Meeting on Fast Burst Reactors, Albuquerque, January 28-30, 1969. U.S. AEC, 1969, p. 323.

Рукопись поступила в издательский отдел
14 октября 1970 года.